

UNIVERSIDADE DE SÃO PAULO  
INSTITUTO DE FÍSICA DE SÃO CARLOS

---

## Introdução à Física Computacional - Projeto 4

---

Silvio Lacerda de Almeida

Novembro, 2023  
São Carlos, SP

# Sumário

<b>1</b>	<b>Introdução</b>	<b>3</b>
<b>2</b>	<b>Tarefas</b>	<b>4</b>
2.1	Tarefa 1 . . . . .	4
2.1.1	Explicando a tarefa 1 . . . . .	5
2.1.2	Resultados . . . . .	5
2.2	Tarefa 2 . . . . .	7
2.2.1	Explicando a tarefa 2 - Arquivo 1 . . . . .	8
2.2.2	Explicando a tarefa 2 - Arquivo 2 . . . . .	9
2.2.3	Resultados . . . . .	9
2.3	Tarefa 3 . . . . .	12
2.3.1	Explicando a tarefa 3 . . . . .	12
2.3.2	Resultados . . . . .	13
2.4	Tarefa 4 . . . . .	16
2.4.1	Explicando a tarefa 4 . . . . .	17
2.4.2	Resultados . . . . .	17
2.5	Tarefa 5 . . . . .	19
2.5.1	Explicando a tarefa 5 . . . . .	19
2.5.2	Resultados . . . . .	19

## Lista de Figuras

1	Tarefa 1 . . . . .	4
2	Gráfico mostrando $\theta(t)$ . Em azul está o calculado sem as correções, e em vermelho com as correções de Euler. . . . .	6
3	Gráfico mostrando $E(t)$ . Em azul está o calculado sem as correções, e em vermelho com as correções de Euler. . . . .	7
4	Tarefa 2 - Arquivo 1 . . . . .	8
5	$\theta_0 = \frac{\pi}{3}$ rad . . . . .	9
6	$\theta_0 = \frac{\pi}{10}$ rad . . . . .	9
7	$\theta_0 = \frac{\pi}{50}$ rad . . . . .	9
8	Em azul $F_0 = 0$ , em vermelho $F_0 = 0.5$ , em verde $F_0 = 1.2$ . . . . .	10
9	Em azul $F_0 = 0$ , em vermelho $F_0 = 0.5$ , em verde $F_0 = 1.2$ . . . . .	11
10	Tarefa 3 . . . . .	12
11	$F_0 = 0.3$ . Temos $\lambda = -0.016475$ , e é possível ver que é o caso não caótico. . . . .	13
12	$F_0 = 0.5$ . Temos $\lambda = +0.04546$ , e é possível ver que é o caso caótico. . . . .	14
13	$F_0 = 1.2$ . Temos $\lambda = +0.035706$ , e é possível ver que é o caso caótico. . . . .	15
14	Tarefa 4 . . . . .	16
15	$F_0 = 0.5$ . Em azul $\theta_0 = \pi/3$ , em vermelho $\theta_0 = \pi/10$ , em laranja $\theta_0 = \pi/30$ . . .	17
16	$F_0 = 1.2$ . Em azul $\theta_0 = \pi/3$ , em vermelho $\theta_0 = \pi/10$ , em laranja $\theta_0 = \pi/30$ . . .	18
17	Tarefa 5 . . . . .	19
18	$F_0 = 0.5$ . . . . .	20
19	$F_0 = 1.2$ . . . . .	21

# 1 Introdução

O segundo projeto de Introdução à Física Computacional contempla 5 tarefas, e delas explicarei detalhadamente o pensamento que originou o código, assim como discutirei o resultado dos mesmos.

Todos os códigos foram escritos em Fortran 77, aderindo à sintaxe implícita, ou seja, quaisquer variáveis declaradas tendo inicialmente letras no intervalo [i-n] são inteiras, e o resto são reais de precisão dupla. A declaração de variáveis entretanto se fez obrigatória quando foi necessário criar funções e instanciar as suas variáveis em seus respectivos escopos.

## 2 Tarefas

### 2.1 Tarefa 1

Figura 1: Tarefa 1

```
1  program EDOAngulo
2  implicit real*8 (a-h, o-z)
3
4  parameter(ite=2000)
5  parameter(dt=1e-2)
6  parameter(g=9.8d0)
7  parameter(al=9.8d0)
8  parameter(m=1.0d0)
9
10 dimension t(ite), w(ite), e(ite), theta(ite)
11 dimension w_ec(ite), e_ec(ite), theta_ec(ite)
12 theta0 = 0.14
13
14 open(1, file="saida-theta-t.dat")
15 open(2, file="saida-theta-t_ec.dat")
16 open(3, file="saida-e-t.dat")
17 open(4, file="saida-e-t_ec.dat")
18
19 PI = 4.0d0*atan(1.0d0)
20 theta(1) = theta0
21 theta_ec(1) = theta0
22 w(1) = 0.0d0
23 w_ec(1) = 0.0d0
24 e(1) = m*g*al*(1-cos(theta0))
25 e_ec(1) = m*g*al*(1-cos(theta0))
26 do i=1, ite-1, 1
27     t(i+1) = i*dt
28     w(i+1) = w(i) - (g/al)*theta(i)*dt
29     w_ec(i+1) = w_ec(i) - (g/al)*theta_ec(i)*dt
30
31     theta(i+1) = mod(theta(i) + w(i)*dt, 2.0d0*pi)
32     theta_ec(i+1) = mod(theta_ec(i) + w_ec(i+1)*dt, 2.0d0*pi)
33
34     e(i+1) = m*g*al*(1-cos(theta(i+1))) + (m/2)*(w(i+1)*al)**2
35     e_ec(i+1) = m*g*al*(1-cos(theta_ec(i+1))) +
36     & (m/2)*(w_ec(i+1)*al)**2
37     write(1, *) t(i+1), theta(i+1)
38     write(2, *) t(i+1), theta_ec(i+1)
39     write(3, *) t(i+1), e(i+1)
40     write(4, *) t(i+1), e_ec(i+1)
41 end do
42 close(1)
43 close(2)
44 close(3)
45 close(4)
46 end program
```

### 2.1.1 Explicando a tarefa 1

No código eu começo definindo as variáveis que vou usar, assim como os parâmetros. Também são criados os vetores para armazenar tempo,  $\omega$  da oscilação, energia e  $\theta$ . Como também irei calcular estes valores para o método de Euler, então crio simetricamente estes vetores.

Logo em seguida defino os valores iniciais para  $\theta$  e energia, para posteriormente iniciar o laço. No laço eu aplico diretamente as equações dadas no trabalho.

$$\omega_{i+1} = \omega_i - \frac{g}{l}\theta_i\Delta t$$

$$\theta_{i+1} = \theta_i + \omega_i\Delta t$$

E com as correções de Euler temos:

$$\omega_{i+1} = \omega_i - \frac{g}{l}\theta_i\Delta t$$

$$\theta_{i+1} = \theta_i + \omega_{i+1}\Delta t$$

### 2.1.2 Resultados

Dadas as condições iniciais sendo  $\theta_0 = 0.14$  radianos,  $\omega_0 = 0$  rad/s, é possível construir os seguintes gráficos.

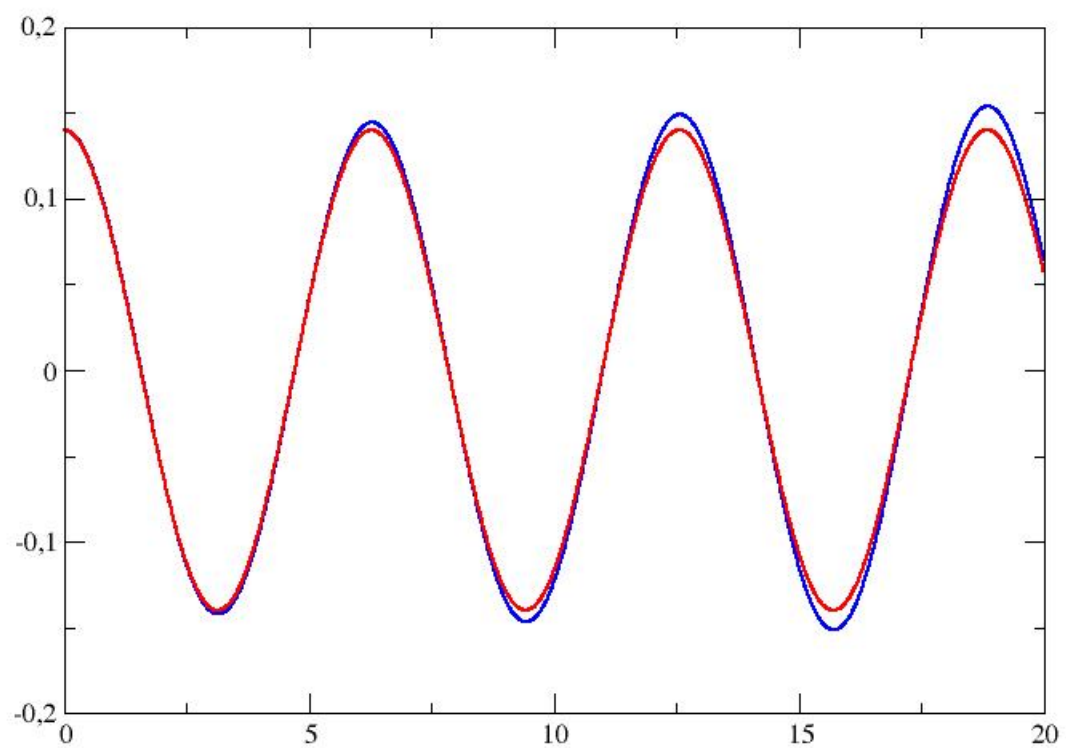


Figura 2: Gráfico mostrando  $\theta(t)$ . Em azul está o calculado sem as correções, e em vermelho com as correções de Euler.

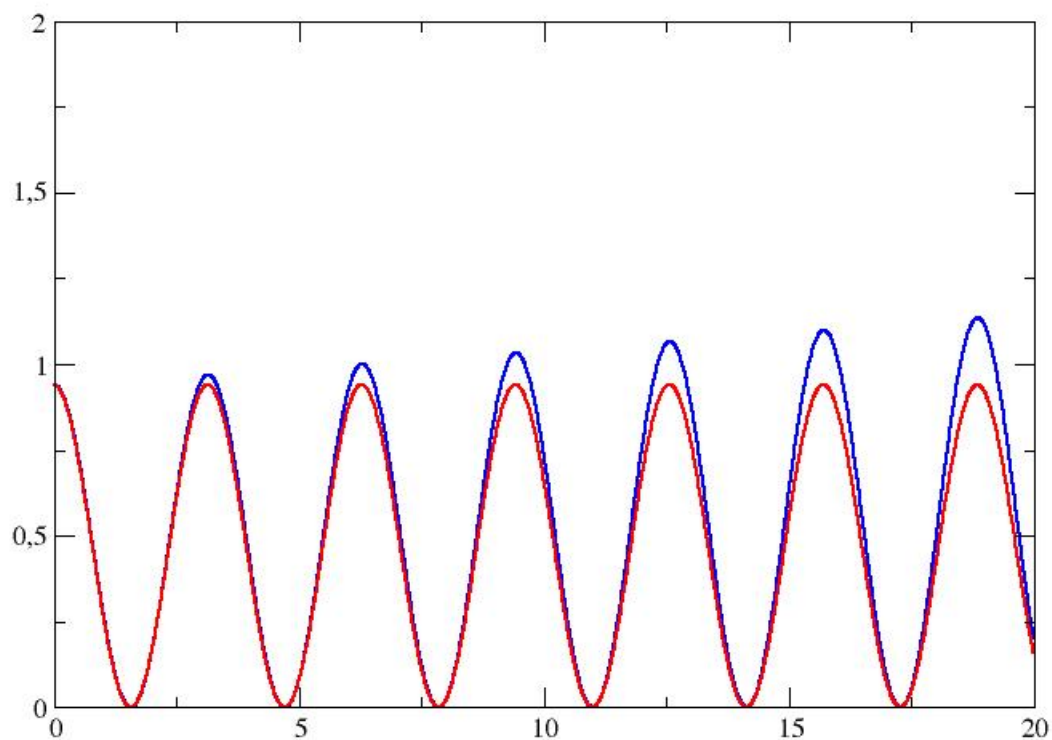


Figura 3: Gráfico mostrando  $E(t)$ . Em azul está o calculado sem as correções, e em vermelho com as correções de Euler.

## 2.2 Tarefa 2

Para fazer esta tarefa, dividi ela em duas partes. A primeira parte é responsável por responder as perguntas **B1** e **B2** e a segunda parte é responsável por responder as perguntas **B3** e **B4**.

Figura 4: Tarefa 2 - Arquivo 1

```

1      program PeriodoPenduloAmortecido
2      implicit real*8 (a-h,o-z)
3      parameter (dt=1e-2)
4      parameter (g=9.8d0)
5      parameter (a1=9.8d0)
6      parameter (n=5000)
7      parameter (gama=0.05d0)
8      parameter (omega=2d0/3d0)
9      character*50 fnametheta
10     character*50 fnamew
11     dimension vec_f(3)
12
13     vec_f = [0d0,0.5d0,1.2d0]
14
15     do j=1,3,1
16     pi = 4.0d0*atan(1.0d0)
17
18     wi = 0.0d0
19     w = 0.0d0
20     thetai = pi/3d0
21     theta = 0.0d0
22     t = 0
23     f0 = vec_f(j)
24
25     write(fnametheta, 100) j
26 100 format ('saida-2-13783203-theta-', I0, '.dat')
27
28     write(fnamew, 101) j
29 101 format ('saida-2-13783203-w-', I0, '.dat')
30
31     open(j, file=fnametheta)
32     open(j+10, file=fnamew)
33
34     do i=1,n,1
35         t=i*dt
36         w=wi-(g/a1)*sin(theta)*dt-gama*w*dt+f0*sin(omega*t)*dt
37         theta=mod(thetai+w*dt, 2.0d0*pi)
38         write(j,*) t, theta
39         write(j+10,*) t, w
40
41         wi=w
42         thetai=theta
43     end do
44
45     close(j)
46     close(j+10)
47 end do
48 end program

```

### 2.2.1 Explicando a tarefa 2 - Arquivo 1

Inicialmente defino os parâmetros iniciais que usarei durante todo o código, e logo depois vou colocar no terminal o resultado dos períodos calculados.



A função  $f(x)$  é justamente a integral que para resolver é necessário utilizar um  $\epsilon$  que permita que as contas não terminem em uma singularidade (integral elíptica). A função *periodo-eliptica* serve justamente para fazer este cálculo, onde o método de integração escolhido foi o método de Simpson. A função período aproximado utiliza a seguinte aproximação:

$$T \approx 2\pi\sqrt{\frac{l}{g}}(1 + \frac{\theta_0^2}{16})$$

### 2.2.2 Explicando a tarefa 2 - Arquivo 2

Nesta segunda parte, reutilizamos a lógica para calcular  $\theta$  e  $\omega$ , e assim podemos escrever ambos em função de  $t$ , com o adicional de que agora os termos  $\gamma$ ,  $F_0$  e  $\Omega$  foram adicionados na equação, demonstrando amortecimento e forças externas.

### 2.2.3 Resultados

Para responder as perguntas **B1** e **B2** utilizaremos o arquivo 1, e testando valores diferentes de  $\theta_0$  veremos que quanto menor for o valor, mais próximos os cálculos estão. Isso se deve, claro, pois todas as premissas para calcular que utilizamos partia justamente de que  $\theta$  oscila entre valores pequenos.

Figura 5:  $\theta_0 = \frac{\pi}{3}$  rad

1	Período integral:	6.7427075722809224
2	Período aproximado:	6.7138280388504166
3	Período analítico:	6.2831853071795862

Figura 6:  $\theta_0 = \frac{\pi}{10}$  rad

1	Período integral:	6.3195338648152930
2	Período aproximado:	6.3219431530299612
3	Período analítico:	6.2831853071795862

Figura 7:  $\theta_0 = \frac{\pi}{50}$  rad

1	Período integral:	6.2537074985718366
2	Período aproximado:	6.2847356210136009
3	Período analítico:	6.2831853071795862

Para responder as tarefas **B3** e **B4** podemos analisar as respostas apenas de **B4**, uma vez que o gráfico de **B3** está contido nestas respostas.

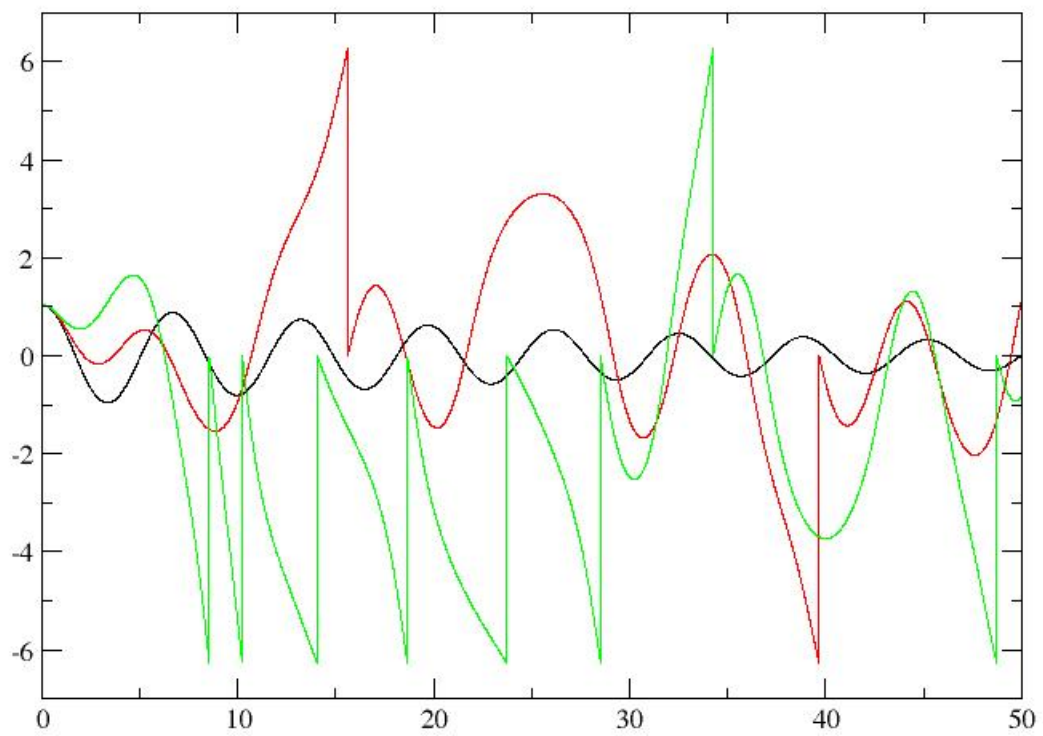


Figura 8: Em azul  $F_0 = 0$ , em vermelho  $F_0 = 0.5$ , em verde  $F_0 = 1.2$ .

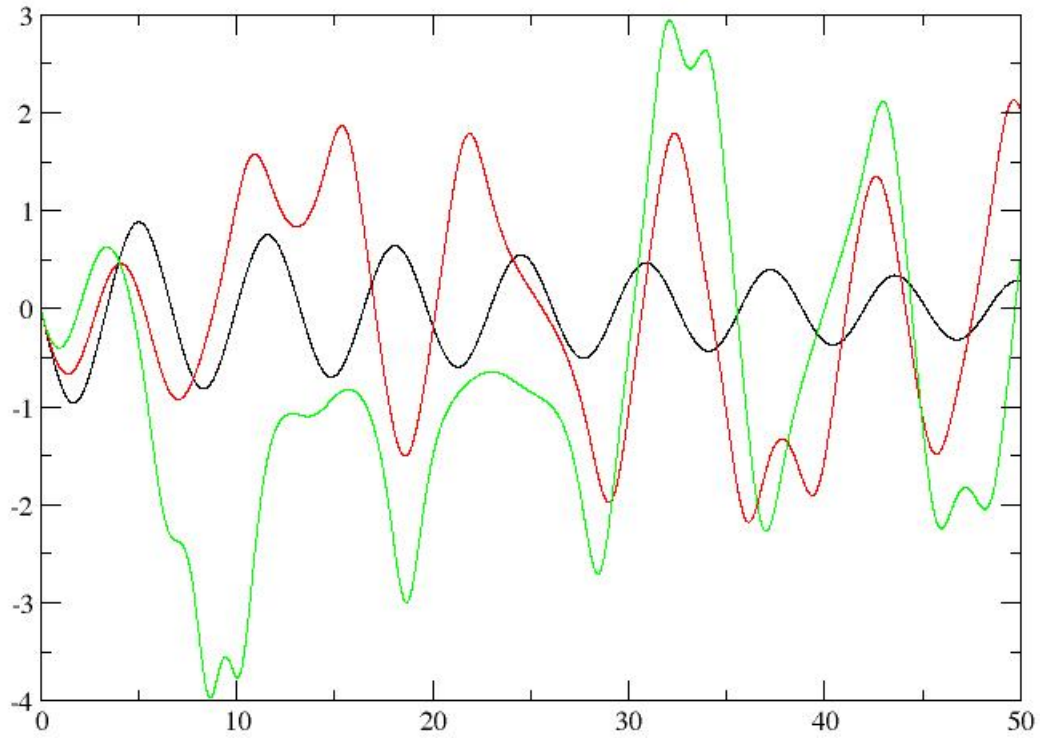


Figura 9: Em azul  $F_0 = 0$ , em vermelho  $F_0 = 0.5$ , em verde  $F_0 = 1.2$ .

É notório que quanto maior a força, mais a frequência se altera ao longo do tempo, assim como a amplitude também sofre mudanças, como podemos ver no gráfico 8. Vemos também que quando  $F_0 = 0$  temos um amortecimento sub-amortecido, aonde a amplitude diminui lentamente mas a frequência permanece a mesma. Dado o gráfico 9 é possível ver a frequência aumentando bruscamente perto do final do gráfico, isso se deve ao ganho de energia dada pela força  $F_0$  que ultrapassa o amortecimento.

## 2.3 Tarefa 3

Figura 10: Tarefa 3

```
1      program PenduloCaotico
2      implicit real*8 (a-h,o-z)
3      parameter (dt=0.04d0)
4      parameter (g=9.8d0)
5      parameter (al=9.8d0)
6      parameter (n=5000)
7      parameter (gama=0.05d0)
8      parameter (omega=2d0/3d0)
9      parameter (f0=0.3d0) !1.2
10
11      pi = 4.0d0*atan(1.0d0)
12
13      wi = 0.0d0
14      w = 0.0d0
15      wi2 = 0.0d0
16      w2 = 0.0d0
17      thetai = 1d0
18      thetai2 = thetai + 0.001d0
19      theta = 0.0d0
20      theta2 = 0.0d0
21      t = 0
22      open(1, file='saida-3-13783203.dat')
23
24      do i=1,n,1
25          t=i*dt
26          w=wi-(g/al)*sin(theta)*dt-gama*w*dt+f0*sin(omega*t)*dt
27          theta=mod(thetai+w*dt, 2.0d0*pi)
28
29
30          t=i*dt
31          w2=wi2-(g/al)*sin(theta2)*dt-gama*w2*dt+f0*sin(omega*t)*dt
32          theta2=mod(thetai2+w2*dt, 2.0d0*pi)
33
34          write(1,*) t, dlog(abs(theta-theta2))
35
36          wi=w
37          thetai=theta
38
39          wi2=w2
40          thetai2=theta2
41      end do
42
43      close(1)
44      end program
```

### 2.3.1 Explicando a tarefa 3

Nesta tarefa, o objetivo é conseguir um  $\Delta\theta$ , e construímos  $\theta_1$  e  $\theta_2$  de forma que  $\theta_2 = \theta_1 + 0.001$ . Depois repito o mesmo código que usei na tarefa passada, apenas criando variáveis

a mais para me referir ao segundo  $\theta$ . Como queremos encontrar  $\lambda$  que pertence à  $\Delta\theta(t) \approx \exp \lambda t$ , então já calculo o log da diferença.

### 2.3.2 Resultados

Analisando o gráfico podemos perceber uma clara diferença, aonde o caso não-caótico demonstra um aparente padrão. Dado  $\theta_0 = 1$  rad, temos que:

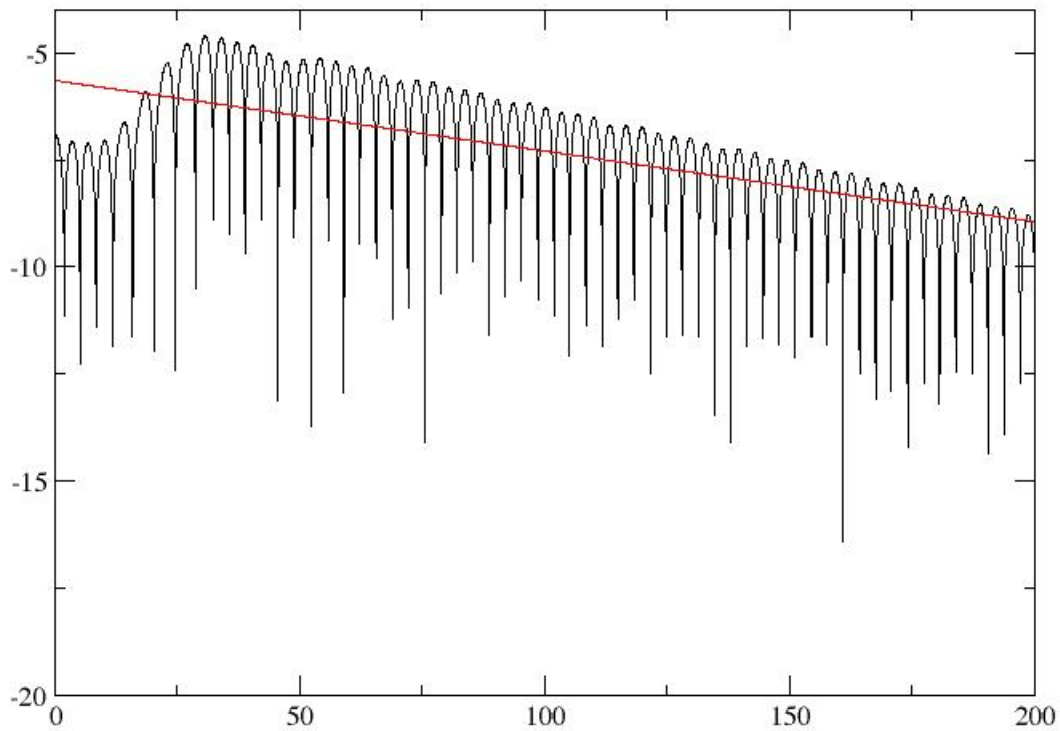


Figura 11:  $F_0 = 0.3$ . Temos  $\lambda = -0.016475$ , e é possível ver que é o caso não caótico.

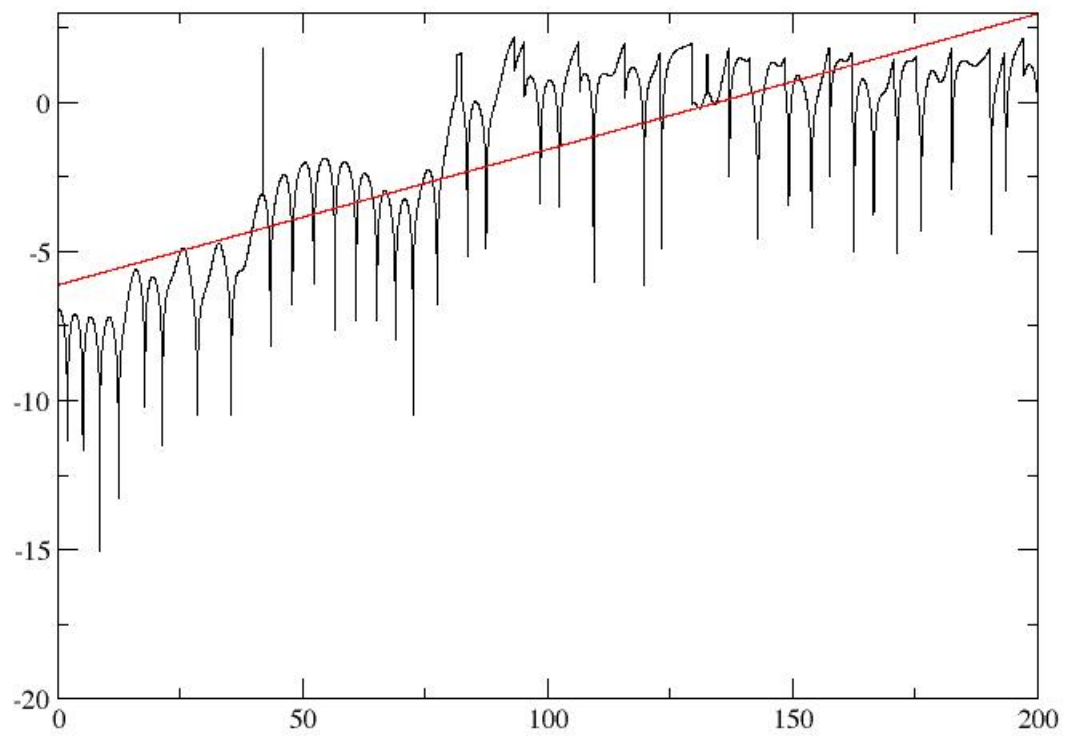


Figura 12:  $F_0 = 0.5$ . Temos  $\lambda = +0.04546$ , e é possível ver que é o caso caótico.

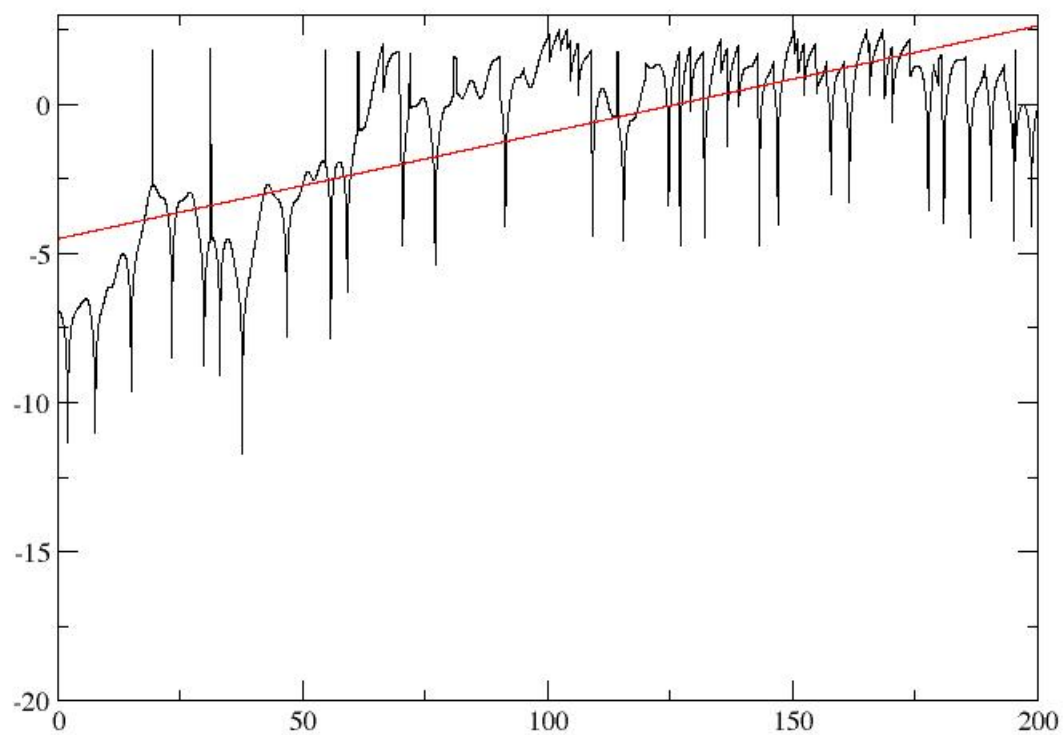


Figura 13:  $F_0 = 1.2$ . Temos  $\lambda = +0.035706$ , e é possível ver que é o caso caótico.

## 2.4 Tarefa 4

Figura 14: Tarefa 4

```
1      program OmegaCaotico
2      implicit real*8 (a-h,o-z)
3      dimension f0(2)
4      dimension thetas(3)
5      character*26 fn
6
7      f0 = [0.5d0,1.2d0]
8      thetas = [1d0, 1.0001d0, 1.05d0]
9
10     do jj=1,3
11     do ii=1,2
12         write(fn, 102) jj,ii
13 102     format('saida-4-13783203-',I0,'-3-',I0,'.dat')
14
15         call run(thetas(jj),f0(ii),fn, ii)
16     end do
17 end do
18 end program
19
20 subroutine run(theta0,f0,name,indice)
21 implicit real*8 (a-h,o-z)
22 parameter(dt=0.04d0)
23 parameter(g=9.8d0)
24 parameter(al=9.8d0)
25 parameter(n=5000)
26 parameter(gama=0.5d0)
27 parameter(omega=2d0/3d0)
28
29 character*26 name
30
31 pi = 4.0d0*atan(1.0d0)
32
33 wi = 0.0d0
34 w = 0.0d0
35 thetai = theta0
36 theta = 0.0d0
37 t = 0
38
39 open(indice, file=name)
40 do i=1,n,1
41     t=i*dt
42     w=wi-(g/al)*sin(theta)*dt-gama*w*dt+f0*sin(omega*t)*dt
43     theta=thetai+w*dt
44
45     write(indice,*) theta, w
46
47     wi=w
48     thetai=theta
49 end do
50 close(indice)
51 return
52 end
```



### 2.4.1 Explicando a tarefa 4

Novamente, repeti o bruto do código da tarefa passada de forma que alterasse apenas para facilitar a obtenção de resultados deste caso. Sendo assim, fiz a sub-rotina *run* que me permite refazer toda lógica da tarefa passada, mas agora alterando  $F_0$  e  $\theta_0$ . Os valores escolhidos para  $\theta_0$  são  $\pi/3$ ,  $\pi/10$  e  $\pi/30$ .

### 2.4.2 Resultados

Sendo assim, os resultados foram:

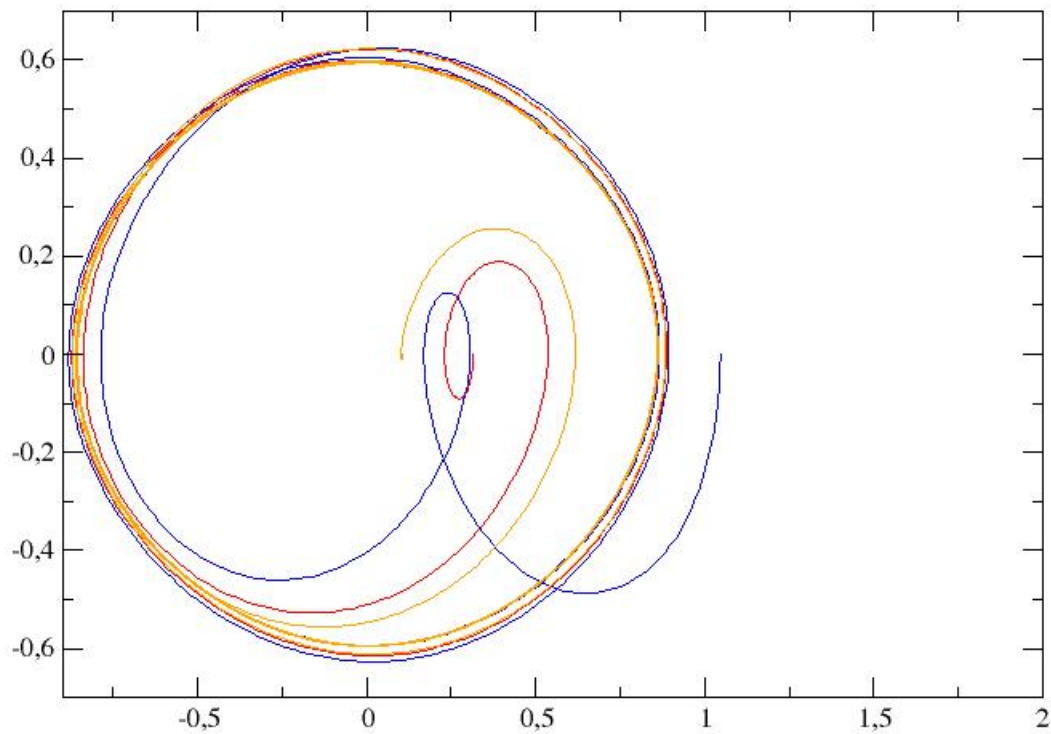


Figura 15:  $F_0 = 0.5$ . Em azul  $\theta_0 = \pi/3$ , em vermelho  $\theta_0 = \pi/10$ , em laranja  $\theta_0 = \pi/30$

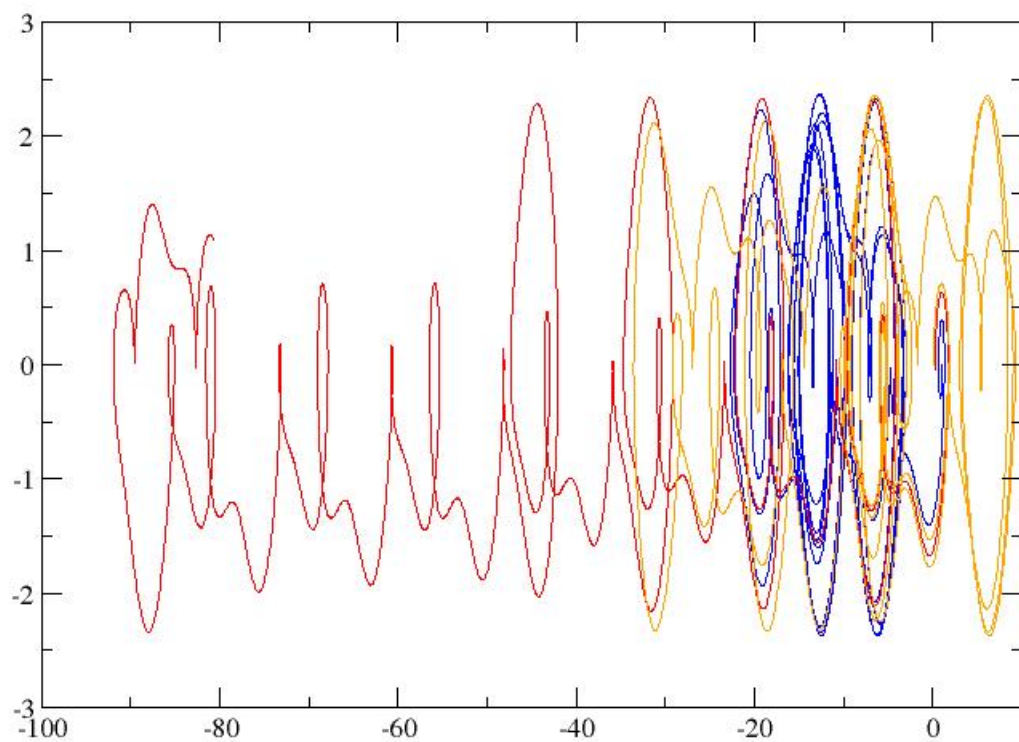


Figura 16:  $F_0 = 1.2$ . Em azul  $\theta_0 = \pi/3$ , em vermelho  $\theta_0 = \pi/10$ , em laranja  $\theta_0 = \pi/30$

## 2.5 Tarefa 5

Figura 17: Tarefa 5

```
1      program Poincare
2      implicit real*8 (a-h,o-z)
3      parameter (dt=0.04d0)
4      parameter (g=9.8d0)
5      parameter (al=9.8d0)
6      parameter (n=1000000)
7      parameter (gama=0.05d0)
8      parameter (omega=2d0/3d0)
9      parameter (f0=1.2d0)
10
11      pi = 4.0d0*atan(1.0d0)
12
13      wi = 0.0d0
14      w = 0.0d0
15      thetai = pi/3d0
16      theta = 0.0d0
17      t = 0
18      open(1, file='saida-5-13783203.dat')
19
20      do i=1,n,1
21          t=i*dt
22          w=w-(g/al)*dsin(theta)*dt-gama*w*dt+f0*dsin(omega*t)*dt
23          theta=mod(theta+w*dt, 2.0d0*pi)
24
25          if (mod(omega*t,2d0*pi) .lt. dt/2.0d0) then
26              write(1,*) theta, w
27          end if
28      end do
29
30      close(1)
31      end program
```

### 2.5.1 Explicando a tarefa 5

Por último, mais uma vez utilizei a mesma lógica da tarefa passada, mas agora eu adicionei uma condição, para filtrar quais pontos poderão ser colocados no arquivo.

### 2.5.2 Resultados

Os resultados desta tarefa mostram exatamente o "RG" que é dito na formulação do enunciado da tarefa, é possível notar que quanto mais caótico, menos denso é a secção de Poincaré.

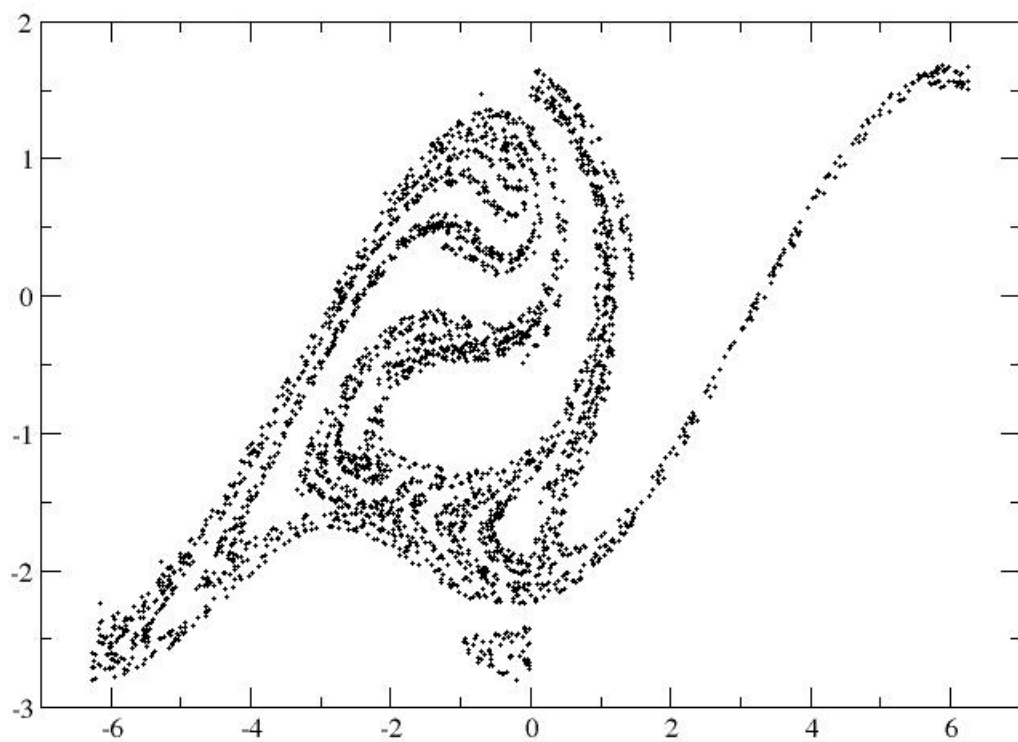


Figura 18:  $F_0 = 0.5$ .

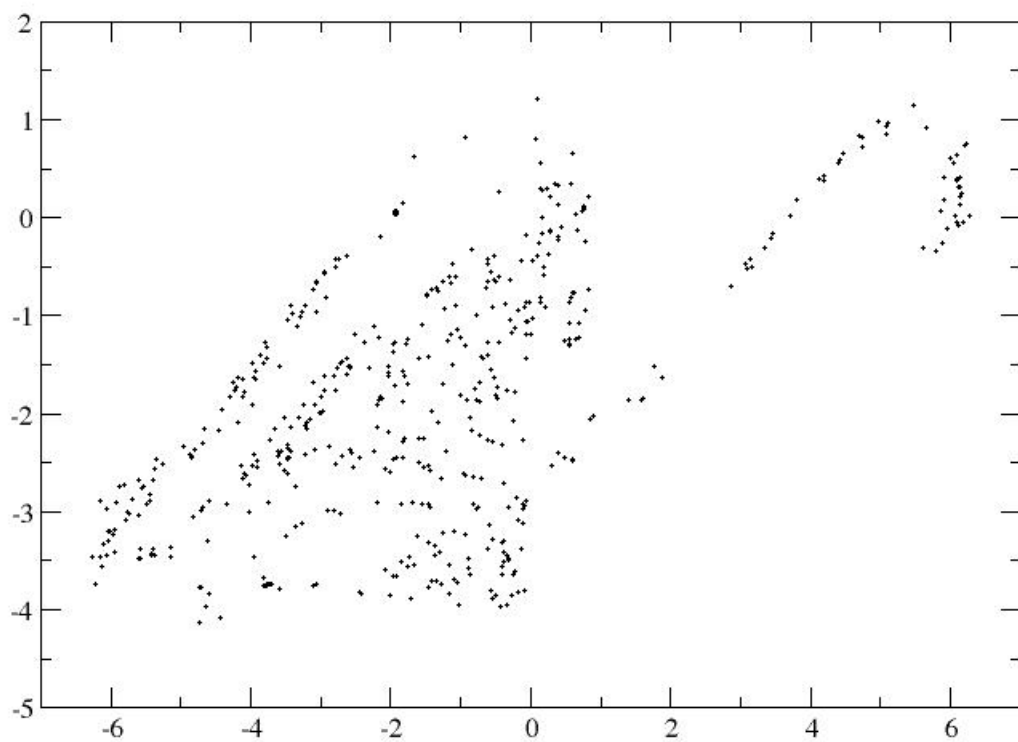


Figura 19:  $F_0 = 1.2$ .